

مطالعه هیستومورفومتریک اویدوکت شترمرغ بالغ در فصل تولیدمثل

جلیل پور حاجی موتاب^{۱*}، ایرج پوستی^۲

چکیده

جنس ماده این زیرگونه در سن ۲ تا ۳ سالگی به بلوغ جنسی می‌رسد در حالیکه جنس نر به طور معمول یک سال بعد از ماده به بلوغ جنسی می‌رسد^(۱). فصل تولیدمثل شترمرغ در ایران از اوخر اسفندماه شروع می‌شود و تا اوایل مهرماه ادامه می‌یابد^(۲). فاصله بین دو تخم‌گذاری در شترمرغ ۴۸ ساعت است و در یک فصل تولیدمثلی پرنده ۹۰ تا ۱۰۰ تخم تولید می‌کند^(۳). با توجه به استقبال روز افزون پرورش دهنگان شترمرغ در دنیا و ایران، برای توفیق اقتصادی بیشتر نیاز به اطلاعاتی جامع و دقیق در مورد این پرنده احساس می‌شود. دستگاه تناسلی جنس ماده هر پرندهای عنوان یکی از مهمترین و موثرترین دستگاه‌های بدن، نقش بهسزائی در تکثیر آن دارد. بنابراین اویدوکت نیز به عنوان بخش بزرگ و مهمی از دستگاه تناسلی شترمرغ ماده باید مورد مطالعه دقیق قرار گیرد.

منابع اطلاعاتی موجود نشان می‌دهد که اویدوکت شترمرغ از دید آناتومی شباهت‌های زیادی با اویدوکت ماکیان و رئای آمریکای جنوبی دارد و مانند اویدوکت ماکیان از پنج ناحیه (Infundibulum-Magnum-Isthmus-Uterus-Vagina) تشکیل می‌شود و فقط تخدمدان و اویدوکت سمت چپ رشد می‌کند^(۴,۷,۸,۰,۵).

مواد و روش کار

برای مطالعه بافتی ۴ پرنده با سنین ۲۸، ۳۶، ۴۰ و ۹۰ ماهه بالغ در فصل تولیدمثل انتخاب شد و همزان با کشتار از نواحی و بخش‌های مختلف اویدوکت هر شترمرغ نمونه‌های که در بردارنده کل ضخامت دیواره باشند برداشت شد، سپس با

پرندهگان فاقد کارینا یا (Ratites) که به عنوان بزرگترین پرندهگان شناخته می‌شوند، شامل پرندهگانی مانند شترمرغ و رثا هستند. سن تولیدمثل در شترمرغ ماده، از دو تا سه سالگی آغاز می‌شود. فصل تخم‌گذاری بسته به مکان زندگی و آب و هوا تغییر می‌کند. در یک دوره تخم‌گذاری، شترمرغ ۹۰ تا ۱۰۰ تخم تولید می‌کند. تخم‌ها به اندازه تقریبی ۱۵۰×۱۵۵ میلی‌متر و وزنی در حدود ۱۵۰-۱۸۰ گرم (۱۸۰-۲۰۰ گرم) دارند. اویدوکت شترمرغ به پنج ناحیه مشخص بنام‌های قیف، مگنوم، تنگه، رحم و واژن تقسیم می‌شود. در این بررسی اویدوکت چهار شترمرغ بالغ مورد مطالعه بافت شناسی قرار گرفت. نتایج نشان داد که اویدوکت شترمرغ از نظر بافت شناسی، تا حد زیادی شبیه سایر پرندهگان و رثا است. در لایه مخاطی، چین‌های اولیه همراه با چین‌های ثانویه دیده می‌شوند. اپتیلیوم استوانه‌ای شبه مطبق یا استوانه‌ای ساده است. این چین‌ها، مشکل از سلول‌های مرثه‌دار و بدون مژه (سلول موکوسی) هستند. در زیر اپتیلیوم، بافت همبندی پارین با غدد لوکمای منشعب قرار دارد. پارین ناحیه واژن، فاقد غدد لوکمای است. در زیر پارین، لایه‌ای از عضلات صاف قرار دارد، لایه عضلانی دارای دو جهت حلقوی و طولی است، لایه داخلی حلقوی و خارجی طولی است که در برخی نواحی اویدوکت، رشته‌های از لایه حلقوی به بافت همبندی زیراپتیلیوم چین‌ها نفوذ می‌کند، خارجی ترین لایه، سروز می‌باشد.

واژگان کلیدی: هیستولوژی، اویدوکت، شترمرغ

تاریخ دریافت: ۸۹/۳/۵ تاریخ پذیرش: ۸۹/۸/۱۳

مقدمه

اهمیت پرندهگان در محیط زیست و زندگی انسان‌ها، بویشه نقش آنها در تولید گوشت و تخم برکسی پوشیده نیست. شترمرغ به دلیل ضریب تبدیل مواد غذایی بالا، سازگاری با شرایط اقلیمی مختلف، مقاومت بالا در برابر بیماری‌ها، گوشت با کلسترول و چربی کم، آهن بیشتر نسبت به سایر گوشت‌های دام‌های اهلی می‌تواند یک پرنده شاخص برای پرورش صنعتی باشد. در ایران بیشتر از زیر گونه گردن قرمز (Struthio camelus, Camelus Linn) برای پرورش صنعتی استفاده می‌شود.

۱- گروه علم تشریحی، دانشکده دامپرورشی، دانشگاه آزاد اسلامی، واحد گرمسار، گرمسار، ایران.

Dr_pourhadji@yahoo.com

۲- گروه علوم تشریحی، دانشکده علوم تخصصی دامپرورشی، دانشگاه آزاد اسلامی، واحد علوم و تحقیقات، تهران، ایران.

اپتیلیوم به همراه بازال لامینا و پارین، لایه مخاطی را تشکیل می‌دهد روی این لایه در تمام طول اویدوکت برجستگی‌های به شکل چین اولیه قرار دارد. در اکثر نواحی اویدوکت این چین‌ها توسط اپتیلیومی از سلول‌های استوانه‌ای مژه‌دار و سلول‌های ترشحی بدون مژه پوشانده شده‌اند.

ناحیه قیف (Infundibulum):

ناحیه قیف در اویدوکت همانند سایر پرندگان از نظر آناتومی و بافت شناسی به دو بخش کاملاً مشخص تقسیم می‌شود. بخش اول بسیار پهن و به شکل مخروط یک قیف است و بخش پهن قیف (Funnel part) تشکیل می‌دهد، این بخش سطح وسیعی را برای گرفتن اوسویت‌های آزاد شده تخدمان ایجاد می‌کند، بخش دوم آن که از باریک شدن بخش پهن قیف بوجود می‌آید همان بخش لوله‌ای (Tubular part) یا گردن (Neck) است و در ترشح (Chalaziferous) و غشاء خارجی زرده نقش دارد. هر دو بخش ناحیه قیف از دیواره ظرفی تشکیل شده‌اند. مخاط این ناحیه دارای چین‌های اولیه زیادی است و بر روی چین‌های اولیه هر دو بخش ناحیه قیف، چین‌های ثانویه قرار دارد تنها تفاوت چین‌های اولیه، ارتفاع بیشتر آنها در بخش گردن قیف است به عبارت دیگر، ارتفاع چین‌های اولیه در ابتدا بخش پهن قیف کم و هر چه این‌ها به ناحیه مکنوم نزدیکتر می‌شوند بر ارتفاع آنها افزوده می‌شود (نگاره ۱-الف). اپتیلیوم چین‌ها در بیشتر بخش‌ها از استوانه‌ای شبه مطبق تشکیل می‌شود. غالب سلول‌های استوانه‌ای اپتیلیوم، دارای مژه (Cilia) هستند. سلول‌های مژه‌دار کاملاً مشخص هستند. هسته مرکزی سلول‌های مژه‌دار در سیتوپلاسم ائزوپلیمی به تبعیت از شکل سلول به شکل استوانه‌ای با یک یا دو هستک و غشاء هسته مشخص دیده می‌شود. مژه‌ها با رأس جدا از هم و در محل اتصال به سلول دارای جسمک قاعده‌ای (Basal body) هستند (نگاره ۱-ب). تعدادی کمی از سلول‌های استوانه‌ای در اپتیلیوم بدون مژه یا ترشحی موکوسی هستند. سلول‌های موکوسی هسته مثاشی شکل و نزدیک قاعده دارند. رأس

فرمالین ۱۰ درصد فیکس شدند. برای آماده سازی از اتانول برای آب‌گیری، از گزیلر برای شفاف‌سازی و از پارافین برای آغشتنگی استفاده شد. سپس نمونه‌های آماده شده، با قالب‌های لوکهارت، قالب‌گیری شدند در ادامه از بلوك‌های پارافینی بوسیله میکروتوم دور، برش‌های با ضخامت ۵ میکرومتری بوسیله میکروتوم دور، برش‌های از دو روش هماتوکسیلین و ائوزین (Haematoxylin and Eosin) و (Periodic Acid Schiff or PAS) استفاده شد. بعد از رنگ‌آمیزی، برش‌های توسط عدسی مدرج میکروسکوپ نوری مورد مطالعه و اندازه‌گیری قرار گرفتند و از آنها فتو میکروگراف‌هایی تهیه شد (۲).

نتایج

دیواره اویدوکت شترمرغ بالغ در فصل تولیدمثل و استراحت جنسی از داخل به خارج در تمام پنج ناحیه از چهار لایه تشکیل می‌شود.

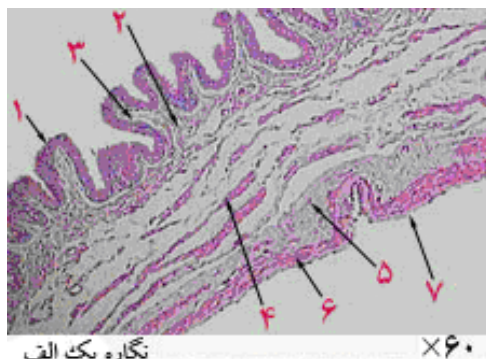
۱: لایه مخاطی (Mucosa layer): که شامل اپتیلیوم (Epithelium)، بازال لامینا (Basal lamina) و پارین یا لامینا پروپریا (Lamina propria) است.

۲: لایه زیر مخاط (Submucosa layer): یا بافت همبندی داخلی؛ چون ماهیچه مخاطی وجود ندارد، مرز این لایه با پارین مشخص نیست.

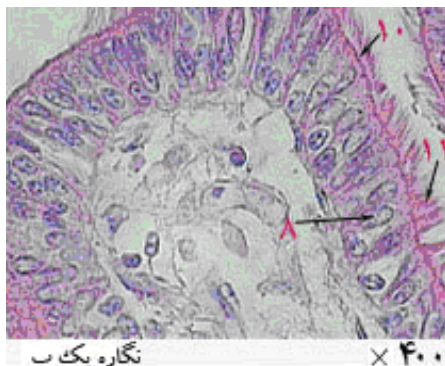
۳: لایه عضلانی (Muscularis layer): لایه عضلانی در اویدوکت شترمرغ از عضلات صاف در دو جهت حلقوی و طولی تشکیل می‌شود این دو لایه توسط بافت همبندی عمقی از یکدیگر جدا می‌شوند. البته در ناحیه واژن اویدوکت شترمرغ، جهت طولی لایه عضلانی، گاهی به شکل مورب نیز مشاهده می‌شود.

۴: پوشش سروزی خارجی (Serosa layer): که همان لایه احشایی صفات است که از بافت همبندی سست و سلول‌های مزوتیلیوم در سطح تشکیل می‌شود.

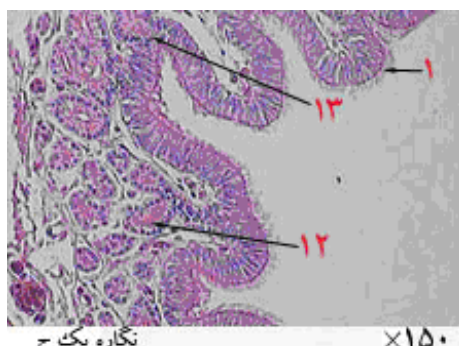
همیندی عمقی، عضلات حلقوی داخلی را از طولی خارجی طولی جدا می‌کند. در بخش گردن قیف تا حدی بر ضخامت لایه عضلانی افزوده می‌شود با وجود این نسبت به نواحی دیگر اویدوکت ضخامت کمتری دارد. خارجی‌ترین لایه در ناحیه قیف لایه سروزی است (نگاره ۱-الف).



نگاره ۱-الف: برشی از دیواره بخش پهن ناحیه قیف اویدوکت شترمنغ.
رنگ آمیزی هماتوکسیلین و انوزین، بزرگنمایی $\times 60$.



نگاره ۱-ب: فتو میکرو گراف بخش پهن ناحیه قیف اویدوکت شترمنغ.
رنگ آمیزی هماتوکسیلین و انوزین، بزرگنمایی $\times 400$.



نگاره ۱-ج: فتو میکرو گراف بخش گردن ناحیه قیف اویدوکت شترمنغ بالغ. رنگ آمیزی ماتوکسیلین و انوزین، بزرگنمایی $\times 150$.

سیتوپلاسم سلول‌های موکوسی دارای گرانولهای (PAS+) است (نگاره ۱-د). سلول‌های موکوسی در بخش پهن قیف مشاهده نمی‌شود (نگاره ۱-د). در بخش گردن ناحیه قیف سلول‌های موکوسی شروع به پیدایش می‌کنند و به سمت مگنوم بر تعداد آنها افزوده می‌شود.

سلول‌های پایه (Basal cells) کوتاه‌تر از سلول‌های موکوسی و مژه‌دار با هسته‌ای کروی و با یکی دو هستک می‌باشند (نگاره ۱-ب).

غدد لوله‌ای منشعب (Branch tubular glands) در داخل بافت همبندی پارین به تعداد کم در بخش گردن قیف دیده می‌شوند و در بخش پهن قیف مشاهده نمی‌شوند (نگاره ۱-ج). سلول‌های غدد لوله‌ای، استوانه‌ای یا هرمی بلند با هسته کروی در قاعده سلول و یک یا دو هستک و غشائی مشخص می‌شوند. رأس سیتوپلاسم سلول‌های غددی دارای گرانولهای اوزینوفیلی است. در بالای هسته برخی سلول‌های غدد لوله‌ای واکوئل‌های شفاف قرار دارد. مجرای غدد لوله‌ای در صورت تخلیه گرانولهای آن، بهوضوح قابل مشاهده است (نگاره‌های ۱-ج و ۱-د).

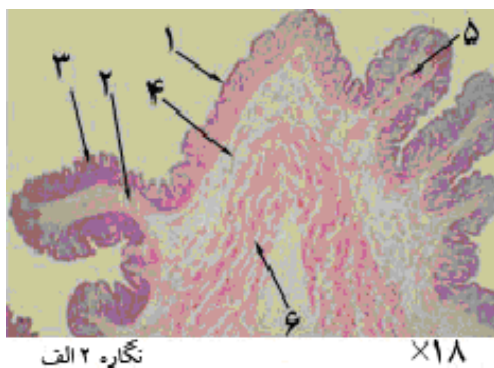
بخش گردن ناحیه قیف علاوه بر غدد لوله‌ای دارای شیارهای غده‌ای (Glandular grooves) است که دارای غددای در ادامه فرورفتگی‌های چین‌های اولیه و ثانویه است (نگاره ۱-ج).

در ناحیه قیف مرز بین پارین و زیر مخاط مشخص نیست. بافت همبندی اطراف و زیر غدد، سست می‌باشد. این بافت همبندی، مغز چین‌های مخاطی اولیه و ثانویه را تشکیل می‌دهد و غنی از رگ‌های خونی است (نگاره ۱-الف).

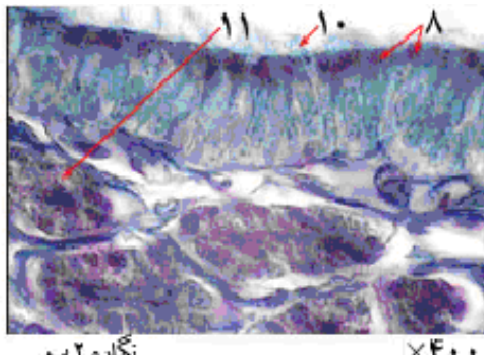
لایه عضلانی صاف ناحیه قیف در دو جهت حلقوی داخلی و طولی خارجی دیده می‌شود. در بخش پهن قیف، عضلات حلقوی داخلی به دلیل وسعت کم، به صورت دستگات سلولی دیده می‌شوند و عضلات طولی خارجی ضخامت کمی دارند. بافت همبندی عمقی با رگ‌های خونی فراوان در اطراف رشته‌های عضلات حلقوی به راحتی قابل تشخیص است. بافت

آنها کروی با غشاء مشخص و دو هستک در قاعده سلول قرار دارند. رأس این سلول‌ها، گرانول‌های ائوزینوپلیزی زیادی وجود دارد. شکل قرارگیری گرانول‌ها بیانگر تخلیه آنها به مجرای غدد می‌باشد. بیشتر مجاري غدد لوله‌ای پس از تخلیه با کوتاه شدن سلول‌های ایش مشخص می‌شوند. مجاري این غدد در فرورفتگی‌های چین‌های ثانویه باز می‌شود. بافت همبندی در اطراف غدد لوله‌ای غنی از عروق خونی است (نگاره ۲-ج).

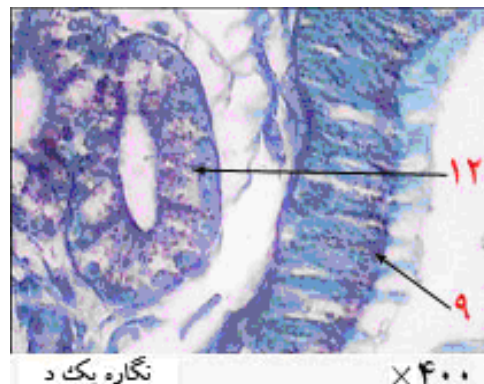
لایه عضلانی در ناحیه مگنوم در دو مسیر حلقوی و طولی قرار دارند. ضخامت این لایه تاحدوی نسبت به ناحیه گردن قیف بیشتر است. بین دو جهت حلقوی و طولی لایه عضلانی، بافت همبندی با سرخرگ‌های بزرگی قرار می‌گیرد. لایه عضلانی از خارج توسط لایه سروزی پوشیده می‌شود (نگاره ۲-الف).



نگاره ۲-الف: برخی از ضخامت دیواره ناحیه مگنوم اویدوکت شترمرغ.
رنگ آمیزی هماتوکسیلین و ائوزین، بزرگنمایی $\times 18$.



نگاره ۲-ب: فتو میکرو گراف اپتالیوم ناحیه مگنوم اویدوکت شترمرغ.
رنگ آمیزی PAS، بزرگنمایی $\times 40$.



نگاره ۱-د: فتو میکرو گراف بخش گردن ناحیه قیف اویدوکت شترمرغ.
رنگ آمیزی PAS، بزرگنمایی $\times 400$.

۱- اپتالیوم استوانه‌ای شبه مطبق. ۲- پارین اولیه. ۳- چین ثانویه. ۴- لایه عضلات حلقوی. ۵- بافت همبندی بین عضله حلقوی و طولی. ۶- لایه عضلات طولی. ۸- سلول‌های استوانه‌ای مژه‌دار با هسته و هستکی مشخص. ۷- لایه سروزی. ۹- سلول موکوسی. ۱۰- جسمک قاعده‌ای مشخص. ۱۱- مژه‌ها. ۱۲- غدد لوله‌ای. ۱۳- شیار غده‌ای (Glandular groove).

ناحیه مگنوم (Magnum):

مطالعه میکروسکوپی ناحیه مگنوم نشان داد که در ابتداء این ناحیه، ضخامت دیواره اویدوکت بیشتر می‌باشد و این افزایش بیشتر به دلیل افزایش ارتفاع چین‌های اولیه مخاط و لایه عضلانی ناحیه مگنوم است. ضخامت چین‌های اولیه طولی این ناحیه، نسبت به سایر نواحی اویدوکت بیشتر است. بر روی هر چین اولیه، تعدادی چین ثانویه وجود دارد (نگاره ۲-الف). اپتالیوم چین‌ها به شکل استوانه‌ای شبه مطبق دیده می‌شود (نگاره ۲-د)، برخی از سلول‌های استوانه‌ای اپتالیوم، مژه‌دار و برخی موکوسی هستند. در رأس سلول‌های موکوسی گرانول‌های (PAS+) بیشتری نسبت به گردن ناحیه قیف وجود دارد (نگاره ۲-ب). شکل سلول‌های استوانه‌ای مژه‌دار و پایه کاملاً شبیه بخش گردن ناحیه قیف است (نگاره ۲-د). پارین در این ناحیه غنی از غدد لوله‌ای است. غدد لوله‌ای نسبت به ناحیه قیف بیشتر منشعب هستند (نگاره ۲-ج). سلول‌های غدد لوله‌ای به شکل هرمی یا چند وجهی و هسته

(نگاره ۳-ج). در این ناحیه تعداد سلول‌های موکوسی و گرانول‌های رأسی (PAS+) آنها بسیار کمتر از ناحیه مگنوم است (نگاره ۳-د).

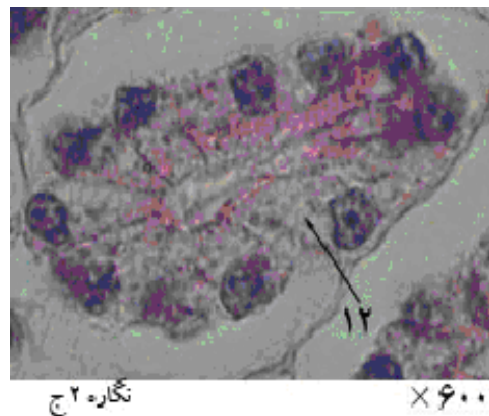
پارین ناحیه تنگ غنی از غدد لوله‌ای است، و در هر حال تعداد غدد لوله‌ای آن در مقایسه با ناحیه مگنوم، کمتر است، مجرای غدد لوله‌ای به فرورفتگی‌های چین‌های ثانویه متنه می‌شود. سلول‌های غدد لوله‌ای، به‌شکل هرمی بلند و استوانه‌ای با هسته کروی در قاعده همراه با یک یا دو هستک دیده می‌شوند. سیتوپلاسم این سلول‌ها از نواحی قبل بیشتر ائوزینوفیلی هستند و گرانول‌های آن ائوزینوفیلی بیشتری دارند (نگاره ۳-ب).

لایه عضلانی در دو مسیر حلقوی و طولی قرار دارد. به‌دلیل نفوذ بافت همبندی غنی از سرخرگ‌های بزرگ، عضله حلقوی منقطع دیده می‌شود. لایه سروزی با سلول‌های مزوتلیومی سنگفرشی متمایل به مکعبی ساده این ناحیه را از بیرون پوشش می‌دهد (نگاره ۳-الف).

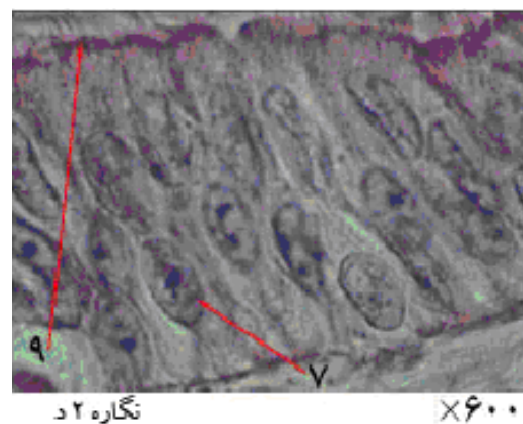
ناحیه رحم (Uterus):

مشاهده ناحیه رحم نشان داد که در سطح داخلی مجرای این ناحیه نیز چین‌های مخاطی اولیه بلند، باریک و نامنظمی وجود دارد. چین‌های اولیه این ناحیه، به‌ندرت دارای چین ثانویه کوتاه بودند (نگاره ۴-الف). اپیتلیوم استوانه‌ای شبه‌طبق سطح چین‌ها، از سلول‌های مژه‌دار و موکوسی تشکیل می‌شود (نگاره ۴-ج)، هسته سلول‌های مژه‌دار در ارتفاع متفاوت، بالای سلول‌های پایه‌ای هستند و دارای مژه‌های رأسی خیلی کوتاه و نامنظمی‌اند (نگاره ۴-د). تعدادی سلول بدون مژه نیز در بین سلول‌های مژه‌دار وجود دارد، سلول‌های موکوسی از نظر تعداد تا حدودی نسبت به ناحیه مگنوم کمتر و گرانول‌های (PAS+) کمتری دارند (نگاره ۴-د).

غدد لوله‌ای از نظر حجم بزرگتر و از نظر تعداد کمتر از ناحیه مگنوم هستند. سلول‌های غدد لوله‌ای به‌شکل هرمی تا مکعبی کوتاه دیده می‌شوند. گرانول‌های ائوزینوفیلی سلول‌های غددی نسبت به ناحیه تنگ کمتر است و هسته این سلول‌ها بهوضوح دیده می‌شود (نگاره ۴-ب). دهانه مجرای غدد لوله‌ای ناحیه رحم



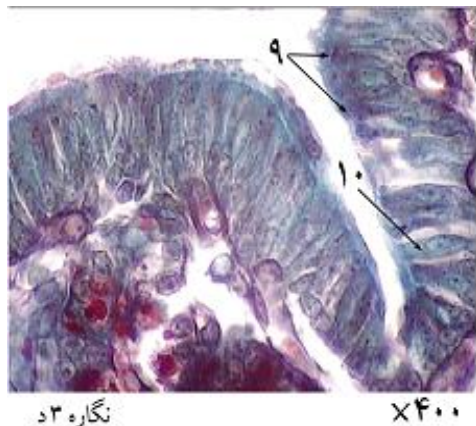
نگاره ۲-ج: فتومیکروگراف یک غدد لوله‌ای ناحیه مگنوم اویدوکت شتر منغ. رنگ‌آمیزی هماتوکسیلین و ائوزین، بزرگنمایی $\times 600$.



نگاره ۲-د: فتومیکروگراف اپیتلیوم استوانه‌ای مژه‌دار ناحیه مگنوم اویدوکت شتر منغ. رنگ‌آمیزی هماتوکسیلین و ائوزین، بزرگنمایی $\times 600$.
۱- اپیتلیوم استوانه‌ای شبه‌طبق مژه‌دار. ۲- چین اولیه. ۳- اپیتلیوم چین ثانویه. ۴- لایه عضلات حلقوی. ۵- رشته‌های از عضله حلقوی در چین اولیه. ۶- لایه عضلات طولی. ۷- سلول استوانه‌ای. ۸- سلول موکوسی. ۹- جسمک قاعده‌ای. ۱۰- مژه‌ها. ۱۱- غدد لوله‌ای. ۱۲- سلول غدد لوله‌ای.

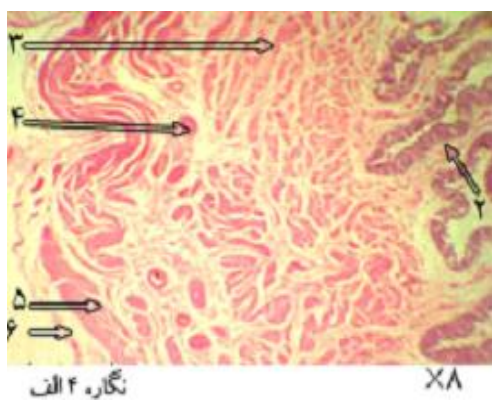
ناحیه تنگ (Isthmus):

مشاهده این ناحیه نشان می‌دهد که در این ناحیه چین‌ها حجم کمتری نسبت به ناحیه مگنوم دارند. ارتفاع چین‌ها در ابتدا هم اندازه مگنوم است ولی به طرف انتهای ارتفاع و حجم آنها کاسته می‌شود. بروی چین‌های اولیه ناحیه تنگ، چین‌های ثانویه قرار می‌گیرد. رشته‌هایی از لایه عضلات حلقوی در داخل چین‌های اولیه مشاهده می‌شود (نگاره ۳-الف). تنها تفاوت اپیتلیوم ناحیه تنگ با ناحیه مگنوم ضخامت کم آن است

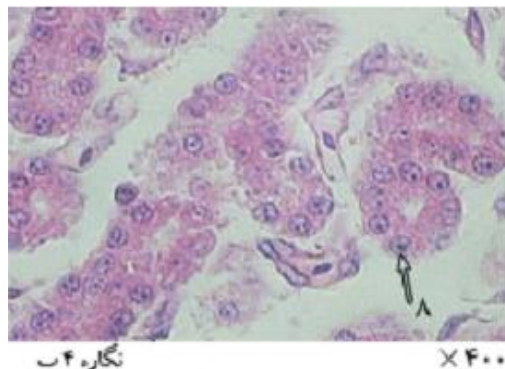


نگاره ۳-د: فتومیکروگراف اپیتلیوم ناحیه تنگه اویدوکت شترمنغ.
رنگ آمیزی PAS، بزرگنمایی $\times 400$.

۱- اپیتلیوم استوانه‌ای شبه مطبق مژه‌دار. ۲- چین اولیه. ۳- چین ثانویه
۴- لایه عضلات حلقوی. ۵- لایه عضلات طولی. ۶- لایه سروزی.
۷- غدد لوله‌ای. ۸- سلول غدد لوله‌ای. ۹- سلول موکوسی. ۱۰- سلول
استوانه‌ای مژه‌دار.

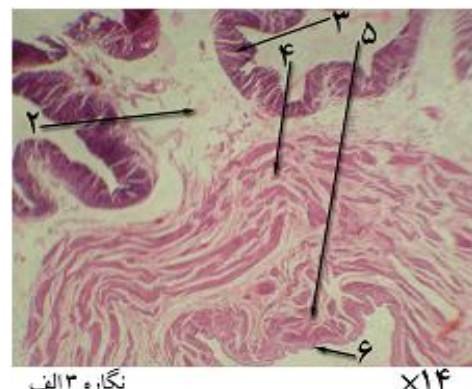


نگاره ۳-الف: ضخامت دیواره ناحیه رحم اویدوکت شترمنغ. رنگ آمیزی
هماتوکسیلین و اثوزین، بزرگنمایی $\times 8$.

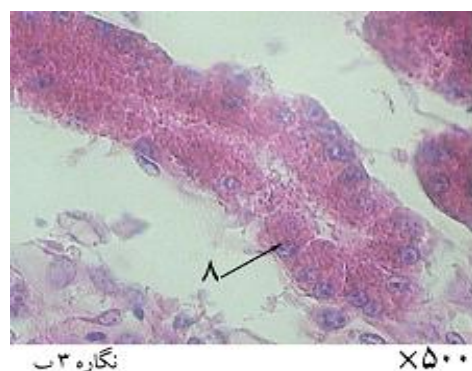


نگاره ۴-ب: فتومیکروگرافی از غدد لوله‌ای پارین در ناحیه رحم اویدوکت
شترمنغ. رنگ آمیزی هماتوکسیلین و اثوزین، بزرگنمایی $\times 400$.

در فرورفتگی بین چین‌های اولیه قرار دارد. بافت همبندی اطراف غدد غنی از رگ‌های خونی است(نگاره ۴-ج).
لایه عضلانی با دو مسیر حلقوی و طولی نسبت به نواحی قبل ضخیم‌تر به نظر می‌رسد. لایه سروزی ناحیه رحم از خارج پوشش می‌دهد(نگاره ۴-الف).



نگاره ۳-الف: ضخامت دیواره ناحیه تنگه اویدوکت شترمنغ.
رنگ آمیزی هماتوکسیلین و اثوزین، بزرگنمایی $\times 14$.



نگاره ۳-ب: فتومیکروگراف غدد لوله‌ای ناحیه تنگه اویدوکت شترمنغ.
رنگ آمیزی هماتوکسیلین و اثوزین، بزرگنمایی $\times 500$.

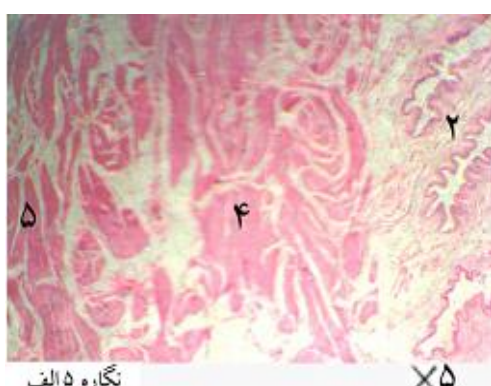


نگاره ۳-ج: فتومیکروگراف لایه مخاطی ناحیه تنگه اویدوکت شترمنغ.
رنگ آمیزی هماتوکسیلین و اثوزین، بزرگنمایی $\times 150$.

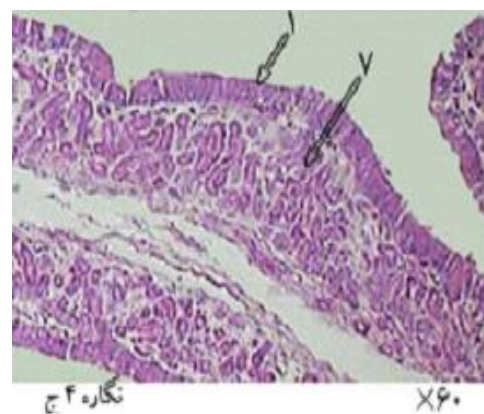
اپتیلیوم چین‌ها به شکل استوانه‌ای شبه مطبق مژه‌دار و موکوسی دیده می‌شود (نگاره ۵ ب). تعداد سلول‌های موکوسی در این ناحیه بیشتر از ناحیه رحم است. سلول‌های بدون مژه یا سلول‌های موکوسی با هسته مثلثی شکل مرکزی که بالاتر از سلول‌های قاعده‌ای قرار می‌گیرد مشخص هستند، در رأس سیتوپلاسم این سلول‌ها، گرانول‌های (PAS+) قرار می‌گیرد (نگاره ۵-د). هسته سلول‌های مژه‌دار در دو ردیف در داخل سیتوپلاسم ائوزینوفیلی قرار دارند. در رأس این سلول‌ها مژه‌های خیلی زیادی وجود دارد در پایه مژه‌های ناحیه واژن جسمک قاعده‌ای به صورت یک خط ممتد در رأس همه سلول‌های مژه‌دار بهوضوح دیده می‌شود (نگاره ۵-ب).

پارین فاقد هر گونه غدد لوله‌ای است و به طور وسیع به داخل چین‌های اولیه و ثانویه همراه با رشته‌های از عضلات حلقوی نفوذ می‌کند (نگاره ۵-ج).

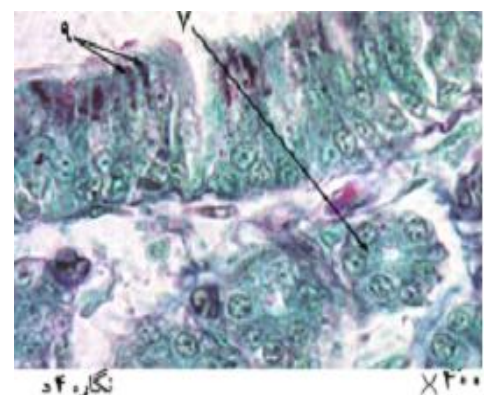
لایه عضلانی در ناحیه واژن همانند سایر نواحی اویدوکت در دو مسیر حلقوی و طولی قرار دارد. در برخی برش‌ها عضلات بجائی جهت طولی، مسیر موربی از خود نشان می‌دهند. تا حدودی ضخامت لایه عضلانی نسبت به رحم بیشتر است. خارجی‌ترین لایه در بخش قدامی ناحیه واژن، لایه سروزی تشکیل می‌دهد و در محل اتصال واژن به کلوک، لایه سروزی به آدواتیس (Adventitia) تبدیل می‌شود (نگاره ۵-الف).



نگاره ۵-الف: ضخامت دیواره ناحیه واژن اویدوکت شترمنغ.
رنگ‌آمیزی هماتوکسیلین و ائوزین، بزرگنمایی $\times 5$.



نگاره ۴-ج: فتومیکروگراف یک چین اولیه ناحیه رحم اویدوکت شترمنغ.
رنگ‌آمیزی هماتوکسیلین و ائوزین، بزرگنمایی $\times 40$.



نگاره ۴-د: فتومیکروگراف اپتیلیوم ناحیه رحم اویدوکت شترمنغ.
رنگ‌آمیزی PAS، بزرگنمایی $\times 400$.

۱- اپتیلیوم استوانه‌ای شبه مطبق مژه‌دار. ۲- چین اولیه. ۳- لایه عضلات حلقوی ۴- بافت همبندی بین دو لایه عضلانی. ۵- لایه عضلات طولی. ۶- لایه سروزی. ۷- غدد لوله‌ای. ۸- سلول غدد لوله‌ای. ۹- سلول‌های موکوسی.

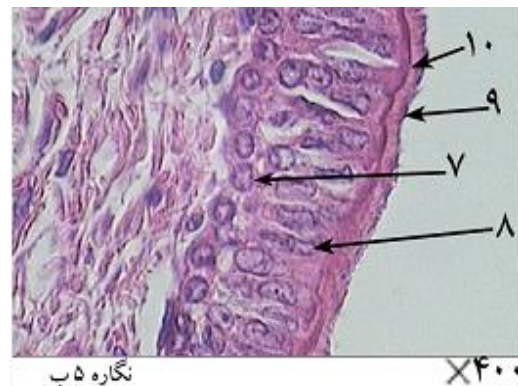
ناحیه واژن (Vagina)

مشاهدات ناحیه واژن موید این است که مخاط این ناحیه نیز مانند سایر نواحی اویدوکت، از چین‌های مخاطی طولی اولیه تشکیل می‌شود. ارتفاع چین‌های اولیه ناحیه واژن تا حدودی نسبت به ناحیه رحم کمتر ولی ضخامت آنها بیشتر از ناحیه رحم است چین‌های اولیه واژن بیشتر از سایر نواحی اویدوکت دارای چین ثانویه هستند (نگاره‌های ۵-الف و ۵-ج).

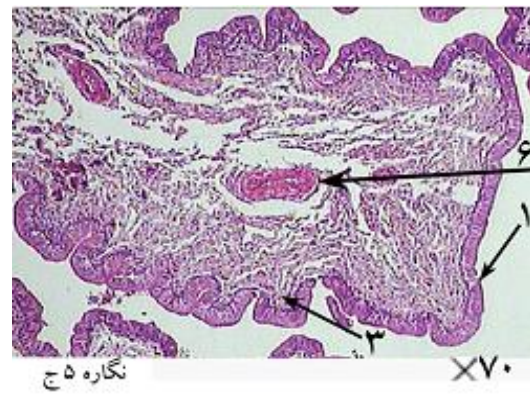
بحث

ساختمان ضخیم اویدوکت شترمرغ با وجود ضخامت بیشتر، شباختهای زیادی با ماکیان اهلی و رئای آمریکای جنوبی و مرغ کیوی دارد(۱۲،۱۰،۹). در سطح داخلی مجرای اویدوکت شترمرغ، همانند سایر پرندگان چینهای اولیه طولی قرار دارد. بر روی چینهای اولیه در همه نواحی اویدوکت کم و بیش چینهای ثانویه قرار دارد. تنها در ناحیه رحم چینهای ثانویه کوتاه و نامحسوس هستند، در حالی که در ناحیه مگنوم ماکیان چینهای ثانویه وجود ندارد(۹). لایه مخاطی اویدوکت شترمرغ مانند سایر پرندگان از اپیتلیوم و بازال لامینا و پارین تشکیل شده است(۱)، اپیتلیوم در اویدوکت شترمرغ در فصل تولید تخم فقط به شکل استوانه‌ای شبه مطبق مژه‌دار دیده می‌شود(۱۱) سیتوپلاسم سلول‌های استوانه‌ای مژه‌دار اپیتلیوم اویدوکت مانند سایر پرندگان اوزینوفیلی است، در حالی که سیتوپلاسم این سلول‌ها در ناحیه قیف اویدوکت رئا، بازووفیلی هستند(۱۲،۹).

سلول‌های موکوسی، به جز بخش پهن ناحیه قیف در اپیتلیوم سایر نواحی اویدوکت دیده می‌شوند. سلول‌های موکوسی از گردن ناحیه قیف شروع به پیدایش می‌کنند تعداد آنها در ناحیه مگنوم افزایش محسوس دارد و در نواحی تنگ و رحم تا حدودی تعدادش کاهش می‌یابد دوباره تعداد آنها در ناحیه واژن تا حدودی افزایش می‌یابد. این غدد در نواحی گردن قیف، مگنوم و رحم بیشتر مسئول ترشح موکوس و آویدین هستند و در واژن، کوتیکول سطح خارجی پوسته آهکی را تولید می‌کنند. شترمرغ از این نظر، شبیه اکثریت پرندگان و رئا است ولی در بوقلمون در بخش پهن ناحیه قیف نیز سلول موکوسی وجود دارد(۱۲،۹). در رأس سیتوپلاسم همه سلول‌های موکوسی، گرانولهای (PAS+) قرار دارد و بر عکس ماکیان این گرانول‌ها در گردن ناحیه قیف زیاد، بنابراین هسته به قاعده سلول گرایش دارد(۹).



نگاره ۵ - ب: شکفتومیکروگراف اپیتلیوم ناحیه واژن اویدوکت شترمرغ. رنگ‌آمیزی هماتوکسیلین و اوزین، بزرگنمایی ۴۰۰×.



نگاره ۵ - ج: فتومیکروگراف یک چین اولیه ناحیه واژن اویدوکت شترمرغ. رنگ‌آمیزی هماتوکسیلین و اوزین، بزرگنمایی ۷۰×.



نگاره ۵ - د: فتومیکروگراف چین ثانویه ناحیه واژن اویدوکت شترمرغ. رنگ‌آمیزی PAS، بزرگنمایی ۱۲۰×.

- ۱- اپیتلیوم استوانه‌ای شبه مطبق مژه‌دار. -۲- چین اولیه. -۳- چین ثانویه. -۴- لایه عضلات حلقوی. -۵- لایه عضلات طولی. -۶- سرخرگ درون چین اولیه. -۷- سلول پایه. -۸- سلول استوانه‌ای مژه‌دار. -۹- مژه‌ها. -۱۰- جسمک قاعده‌ای. -۱۱- سلول موکوسی.

ماکیان و رئا است (۱۲،۹).

سومین لایه اویدوکت شتر منغ از بافت عضلانی صاف، خوب توسعه یافته‌ای تشکیل می‌شود. این لایه مانند ماکیان و رئا در دو جهت حلقوی داخلی و طولی خارجی قرار دارد. ضخامت لایه عضلانی در ناحیه قیف کم بوده و به خلف افزوده می‌شود، در ناحیه مگنوم ضخامت مشخصی دارد ضخامت لایه عضلانی ناحیه تنگه تا حدودی از مگنوم بیشتر است و ناحیه واژن ضخیم‌ترین لایه عضلانی را دارد عضله طولی در این ناحیه در برخی برشها، در جهت مورب نیز دیده می‌شود. افزایش ضخامت لایه عضلانی از قیف تا واژن بیانگر این است که با ترشح مواد مختلف در اطراف زرد نیروی بیشتری برای حرکت تخم در مجرای اویدوکت نیاز است. در همه نواحی اویدوکت شتر منغ، بافت همبندی سست عمقی غنی از عروق خونی عضله حلقوی داخلی را از عضله طولی خارجی جدا می‌کند. خارجی‌ترین لایه را در اویدوکت لایه سروزی تشکیل می‌دهد. لایه سروزی مانند سایر پرندگان از سلول‌های مزوتیلیومی سنجفرشی پوشیده می‌شود. فقط در ناحیه تنگه شتر منغ تا حدودی شکل سلول‌های مزوتیلیومی از سنجفرشی به مکعبی ساده تغییر شکل می‌دهند. لایه سروزی در بخش انتهای ناحیه واژن به صورت آدوانتیس دیده می‌شود چون در انتهای واژن سلول‌های مزوتیلیومی ناپدید می‌شود و خارجی‌ترین لایه اویدوکت با بافت‌های ارگان‌های اطراف خود (کلواک) ترکیب می‌شود (۱۲،۹).

فهرست متابع

- ۱- پوستی، الف. و ادیب مرادی، م. (۱۳۸۵): بافت‌شناسی مقایسه‌ای و هیستوتکنیک، چاپ ششم، انتشارات دانشگاه تهران: ۴۲۹-۴۲۵.
- ۲- پوستی، الف. و ادیب مرادی، م. (۱۳۸۵): روش‌های آزمایشگاهی بافت‌شناسی، چاپ اول، انتشارات دانشگاه تهران: ۶۱-۳۴.
- ۳- نصر، ج. (۱۳۸۵): راهنمایی کامل پرورش شتر منغ، چاپ اول، انتشارات نوربخش: ۳۵-۲۳.

شیارهای غده‌ای در فرورفتگی چین‌های ثانویه بخشن گردن ناحیه قیف مانند ماکیان در شتر منغ نیز وجود دارند، در حالیکه در رئا اشاره‌ای بوجود شیارهای غده‌ای ناحیه قیف نشده است (۱۲،۴).

پارین همانند سایر پرندگان و رئا به صورت بافت همبندی سست در زیر پوشش مخاطی چین‌ها قرار دارد (۱). پارین شامل غدد لوله‌ای است این غدد از ناحیه گردن قیف پدیدار و با نزدیک شدن به انتهای رحم کاهش و در واژن کاملاً ناپدید می‌شوند. عبارت دیگر هیچ غدد لوله‌ای در واژن وجود ندارد. پارین در ناحیه مگنوم غنی از غدد لوله‌ای است به دلیل وجود غدد لوله‌ای زیاد، ضخامت لایه مخاطی خیلی بیشتر از ناحیه قیف به نظر می‌رسد.

غدد لوله‌ای در ابتدا به شکل لوله‌ای ساده با انشعابات کم دیده می‌شوند ولی در ناحیه مگنوم که بیشترین تعداد غدد لوله‌ای را دارد به شکل لوله‌ای با انشعابات زیاد نمایان می‌شوند تراکم غدد لوله‌ای بعد از ناحیه مگنوم رو به کاهش می‌گذارد و از انشعابات آن کم می‌شود. پیدایش و شکل غدد لوله‌ای در پارین نشان می‌دهد که ترشح مواد بویژه آلبومین در اطراف زرد از انتهای گردن قیف شروع و در مگنوم به حداقل مقدار رسیده و در رحم کاهش می‌یابد و در واژن هیچ ترشح آلبومینی وجود ندارد. سلول‌های غدد لوله‌ای در بیشتر نواحی به شکل هرمی بلند تا مکعبی دیده می‌شوند. مجرای غدد در همه نواحی به فرورفتگی‌های چین‌های اولیه یا ثانویه ختم می‌شوند شتر منغ از این حیث نیز شبیه ماکیان و رئا است (۱۲،۹).

در ناحیه رحم گرانول‌های اوزینوفیلی سلول‌های غددی نسبت به ناحیه تنگه کمتر است و هسته این سلول‌ها به وضوح دیده می‌شود کاهش و تغییر رنگ گرانول‌ها در نتیجه تغییر ترشح غدد از آلبومین به کلسیم است.

لایه زیرمخطاط بدلیل عدم وجود ماهیچه مخاطی مرز مشخصی با بافت همبندی زیر اپیتلیوم ندارد. بنابراین بافت همبندی زیر اپیتلیوم به عنوان پارین در نظر گرفته می‌شود که از این دید شبیه

- 4- Charnock Bardley, O. (1928) Notes on the histology of the oviduct of the domestic hen. *J. Anat. Royal Vet.*, 62 (Pt3):339–345.
- 5- Dalrymple, J.R and Macpherson, J.W. (1958) The reproductive tract of the turkey hen. *J. Comp.Med.*, 32:435.
- 6- Deeming, D.C. (1999) The Ostrich Biology, Production and Health. CABI Publishing , Walingford Oxon and New York:pp 144-148.
- 7- Duerden, J.E. (1912) Experiments with ostriches XX. The anatomy and physiology of the ostrich. The internal organs. *South Afr Agric. J.*, 3:1–27.
- 8- Fowler, M.E. (1991) Comparative clinical anatomy of ratites. *J. Wildlife Med.*, 22: 204–227.
- 9- King, A.S. and Mc Lelland, J.(1984) Birds their strucure and function. Bailliere Tindall. London: 121- 130.
- 10- Kinsky, F.C. (1971) The consistent presence of paired ovaries in the kiwi. with some discussion of this condition in other birds. *J. Orn. Lpz.*, 112:353-357.
- 11- Madekurozwa, M. C. (2006) Morphological features of the luminal surface of the magnum in the sexually immature ostrich (*Struthio camelus*). *Anat. Histol. Embryol.*, 34:350–353.
- 12- Parizzi, R.C. , Santos, J.M. , Oliveira, M.F. , Maia, M.O., Sousa1, J.A. , Miglino, M.A. and Santos, T.C. (2007) Macroscopic and Microscopic Anatomy of the Oviduct in the Sexually Mature Rhea (*Rhea Americana*). *J. Anat. Histol. Embryol. Veterinary Medicine Series.*,36. 455-463.